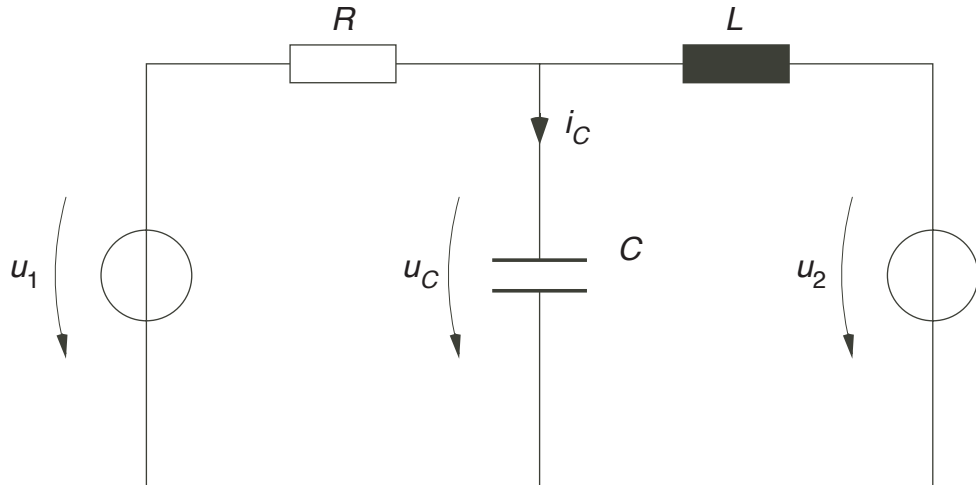


§ 7.5.1 Superposition en régime alternatif – Exercice 2

On donne le circuit électrique suivant :



Déterminez u_C et i_C en sachant que :

$$R = 30 \Omega$$

$$L = 16 \text{ mH}$$

$$C = 300 \mu\text{F}$$

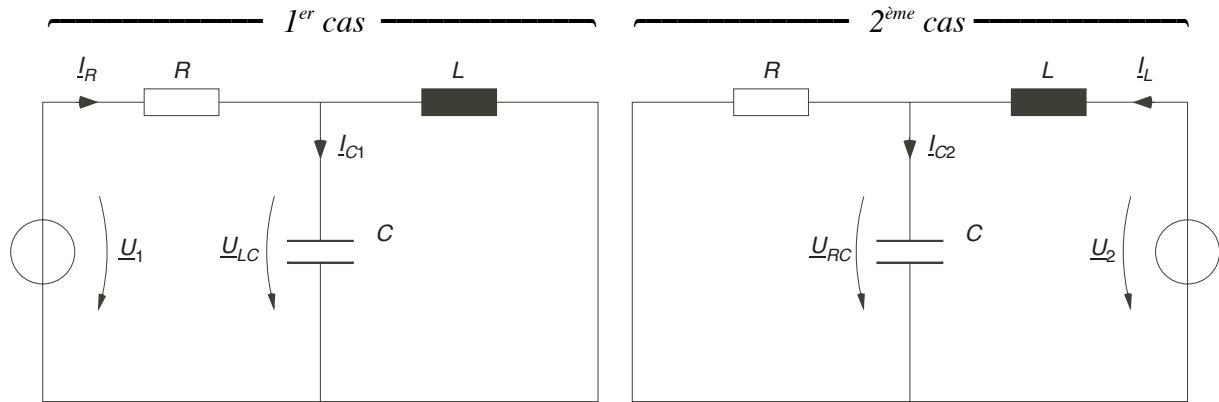
$$u_1 = 100 \cdot \sqrt{2} \sin \omega_1 t \quad u_2 = 100 \cdot \sqrt{2} \sin \omega_2 t$$

$$f_1 = 50 \text{ Hz} \quad f_2 = 100 \text{ Hz}$$

•

Superposition en régime alternatif – Corrigé Exercice 2

Pour résoudre le problème, on applique le principe de superposition. On considère donc séparément les deux circuits suivants:



Remarque : Pour chacun des schémas ci-dessus, la source étant unique et donc la fréquence également, la notation complexe peut être utilisée, contrairement à la donnée de l'exercice où deux fréquences sont présentes.

Dans chacun des cas et individuellement, on peut calculer le courant et la tension aux bornes de la capacité avec les phaseurs complexes:

1^{er} cas : L'impédance équivalente \underline{Z}_1 s'écrit :

$$\underline{Z}_1 = R + \frac{1}{\frac{1}{j\omega_1 L} + j\omega_1 C} = R + \frac{j\omega_1 L}{1 - \omega_1^2 LC} = R_1 + jX_1 \quad (R_1 = R)$$

D'après Kirchhoff on a :

$$\underline{U}_1 = \underline{U}_R + \underline{U}_{LC}$$

De plus :

$$\underline{I}_R = \frac{\underline{U}_1}{\underline{Z}_1}$$

Il vient :

$$\underline{U}_{LC} = \underline{U}_1 - R \cdot \underline{I}_R = \underline{U}_1 - R \cdot \frac{\underline{U}_1}{\underline{Z}_1}$$

D'où :

$$\underline{U}_{LC} = \underline{U}_1 \left(1 - \frac{R}{\underline{Z}_1} \right) = \underline{U}_1 \cdot \underline{A}_1$$

Avec :

$$\underline{A}_1 = 1 - R \frac{R_1 - jX_1}{R_1^2 + X_1^2} = \frac{X_1^2}{R_1^2 + X_1^2} + j \frac{R_1 X_1}{R_1^2 + X_1^2} = \hat{A}_1 \cdot e^{j\alpha_1}$$

Donc : $\underline{U}_{LC} = \underline{U}_1 \cdot \underline{A}_1$ et $\underline{I}_{C1} = \underline{U}_{LC} \cdot j\omega_1 C$

2ème cas : L'impédance équivalente \underline{Z}_2 s'écrit :

$$\underline{Z}_2 = j\omega_2 L + \frac{1}{\frac{1}{R} + j\omega_2 C} = R_2 + jX_2 \quad (R_2 \neq R)$$

D'après Kirchhoff on a :

$$\underline{U}_2 = \underline{U}_L + \underline{U}_{RC}$$

De plus :

$$\underline{I}_L = \frac{\underline{U}_2}{\underline{Z}_2}$$

Il vient :

$$\underline{U}_{RC} = \underline{U}_2 - j\omega_2 L \cdot \underline{I}_L$$

D'où :

$$\underline{U}_{RC} = \underline{U}_2 - j\omega_2 L \cdot \frac{\underline{U}_2}{\underline{Z}_2} = \underline{U}_2 \left(1 - j \frac{\omega_2 L}{\underline{Z}_2} \right) = \underline{U}_2 \cdot \underline{A}_2$$

Comme précédemment, on obtient :

$$\underline{A}_2 = 1 - \frac{\omega_2 L X_2}{R_2^2 + X_2^2} - j \cdot \frac{\omega_2 L R_2}{R_2^2 + X_2^2} = \hat{A}_2 \cdot e^{j\alpha_2}$$

Donc : $\underline{U}_{RC} = \underline{U}_2 \cdot \underline{A}_2$ et $\underline{I}_{C2} = \underline{U}_{RC} \cdot j\omega_2 C$

Grandeur résultante : Le principe de superposition est applicable. Cependant, la somme des deux systèmes individuels doit être effectuée dans le domaine temporel, car on ne peut pas combiner deux phasateurs qui n'ont pas la même pulsation ($\omega_1 \neq \omega_2$).

Il vient :

$$u_1 = \hat{U}_1 \sin \omega_1 t$$

$$u_{LC} = \hat{A}_1 \cdot \hat{U}_1 \sin(\omega_1 t + \alpha_1)$$

$$i_{C1} = \omega_1 \cdot C \cdot \hat{A}_1 \cdot \hat{U}_1 \sin\left(\omega_1 t + \alpha_1 + \frac{\pi}{2}\right)$$

$$u_2 = \hat{U}_2 \sin \omega_2 t$$

$$u_{RC} = \hat{A}_2 \cdot \hat{U}_2 \sin(\omega_2 t + \alpha_2)$$

$$i_{C2} = \omega_2 \cdot C \cdot \hat{A}_2 \cdot \hat{U}_2 \sin\left(\omega_2 t + \alpha_2 + \frac{\pi}{2}\right)$$

Tension et courant aux bornes de la capacité s'écrivent :

$$u_C = u_{LC} + u_{RC} = \hat{A}_1 \cdot \hat{U}_1 \sin(\omega_1 t + \alpha_1) + \hat{A}_2 \cdot \hat{U}_2 \sin(\omega_2 t + \alpha_2)$$

$$i_C = i_{C1} + i_{C2} = \omega_1 \cdot C \cdot \hat{A}_1 \cdot \hat{U}_1 \sin\left(\omega_1 t + \alpha_1 + \frac{\pi}{2}\right) + \omega_2 \cdot C \cdot \hat{A}_2 \cdot \hat{U}_2 \sin\left(\omega_2 t + \alpha_2 + \frac{\pi}{2}\right)$$

Application numérique :

$$R_1 = 30 \quad \Omega \quad X_1 = 9.551 \quad \Omega \quad (\text{impédance inductive})$$

$$R_2 = 0.91 \quad \Omega \quad X_2 = 4.909 \quad \Omega \quad (\text{impédance inductive})$$

$$\hat{U}_1 = \hat{U}_2 = 141.4 \quad \text{V}$$

$$\hat{A}_1 = 0.303 \quad \hat{A}_2 = 1.046$$

$$\alpha_1 = 1.263 \text{ rad } (= 72.36^\circ) \quad \alpha_2 = -2.783 \text{ rad } (= -159.5^\circ)$$

$$u_{LC} = 42.90 \cdot \sin(\omega_1 t + 1.263)$$

$$i_{C1} = 4.043 \cdot \sin(\omega_1 t + 2.833) \quad \alpha_1 + 90^\circ = 162.4^\circ$$

$$u_{RC} = 147.96 \cdot \sin(\omega_2 t - 2.783)$$

$$i_{C2} = 27.89 \cdot \sin(\omega_2 t - 1.212) \quad \alpha_2 + 90^\circ = -69.5^\circ$$

α_1 représente le déphasage entre la tension u_{LC} et u_1

$\alpha_1 + \frac{\pi}{2}$ représente le déphasage entre le courant i_{C1} et u_1

α_2 représente le déphasage entre la tension u_{RC} et u_2

$\alpha_2 + \frac{\pi}{2}$ représente le déphasage entre le courant i_{C2} et u_2

Les graphiques suivants montrent l'évolution temporelle des signaux i_C , i_{C1} , i_{C2} , u_C , u_1 et u_2 .

